

## الفصل العاشر

### التشتت الخلفي لوجات الضوء بواسطة الألياف

#### Back-scattering of Light Waves from Fibres

##### ١/١٠ - حالة سقوط الضوء عموديا على محور الشعيرة

The case of a beam of light incident perpendicular to the fibre axis

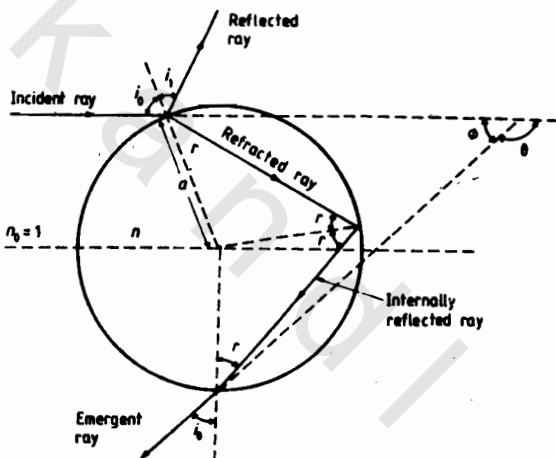
تستخدم الألياف البصرية كوسط حامل للمعلومات ينفذ من خلاله الضوء في أنظمة التراسل الضوئي ، وتكون الشعيرة من إسطوانتين متحدين في المركز ومن مادتين عازلتين وطولها كبير جداً (كيلومترات) وذات قطر خارجي  $\approx 125$  ميكرومتر . وتكون الإسطوانة الداخلية (لب الشعيرة) من مادة معامل انكسارها  $n_{core}$  يزيد قليلاً عن معامل انكسار مادة الإسطوانة الخارجية (قشرة الشعيرة)  $n_{clad}$  ومعامل انكسار لب الشعيرة وقشرتها وقطر لب الشعيرة هي ثلاثة بارامترات تحدد خصائص الشعيرات من حيث تقانيتها للضوء . ومن المفيد وجود طريقة لا إتلافية non-destructive technique لقياس قيم معاملات انكسار وأقطار طبقتي هذه الألياف يمكن استخدامها لقياس وضبط هذه القيم في أثناء تصنيع وسحب هذه الألياف .

وكخطوة أولى نحو هذا الهدف سنشرح طريقة تعين معامل انكسار وقطر الشعيرات التي ليس لها قشرة uncladded optical fibres التي اقترحها "Presby" (١٩٧٤) وتعتمد هذه الطريقة على تحليل الضوء المشت خلفيا back-scattered light عندما يسقط شعاع ليزر مستمر cw laser عمودياً على محورها . وبإجراء تحليل باستخدام طرق البصريات الهندسية ، نجد أنه في التموج المكون من هدب متsequitve يكون موقع الانقطاع الحاد sharp cut-off يمكن أن يحدد معامل انكسار مادة الشعيرة المتكونة من طبقة واحدة ، بينما يمكن تعين قطر هذه الشعيرة من المسافة بين نهايتي صغيرتين للضوء المتكون على هذا التموج . وستقدم هنا طريقة Presby وتطبيقاتها على ألياف زجاج الصودا soda glass والسيليكا Silica والبيركس Pyrex والتي ليس لها قشرة ، وتتراوح أقطار هذه الألياف من

إلى ٣٠٠ ميكرومتر . وكما هو الحال في طريقه Presby ، فإنه سيخذل في الاعتبار انعكاس داخلي واحد .

### ١/١٠- تحليل التشتت الخلفي Back-scattering analysis :

افترض أن حزمة متجمعة من الضوء أحادي اللون وطول موجته  $\lambda$  سقطت على شعيرة من الزجاج ليس لها قشرة مع استخدام ضوء مستقطب في اتجاه يوانى محور الشعيرة في هذه القياسات ، حيث توضح حسابات معاملات فرنيل Fresnel coefficients أن الضوء المستقطب في اتجاه عمودي على محور الشعيرة يكون له حد أدنى من الشدة الضوئية minimum irradiance عندما يخرج من الشعيرة عند زوايا قريبة جداً من  $\Phi_m$  ، كما هو موضح في الشكل رقم (١/١٠) .



شكل رقم (١/١٠) : الشعاع الساقط والمنعكس والمنكسر

ويستخدم طرق البصريات الهندسية نجد أنه عندما يسقط شعاع على الشعيرة ينبع شعاعاً منعكساً وشعاعاً منكسراً داخلاً في الشعيرة ، كما في شكل رقم (١/١٠) . وفي الوسط المتجانس والمتماثل ضوئياً تكون هذه الأشعة عبارة عن خطوط مستقيمة وعند السطح الفاصل بين الشعيرة والوسط المحيط بها ، يتغير اتجاه هذه الأشعة حسب قانون الانعكاس وقانون سنيل Snell's law للانكسار ويمكن باستخدام هذين القانونين تتبع مسار الأشعة في الشعيرة حتى نصل إلى الشعاع الخارجي الذي يكون نموذج التشتت

الخلفي . وبالأضافة فإن يجب أن يؤخذ في الاعتبار تغيرات التداخل التي تحدد الشدة الضوئية irradiance في هذا النموذج ، وذلك من خلال معاملات فرنيل Fresnel coefficients .

وإذا كانت  $i$  هي زاوية سقوط شعاع خوئي عند نقطة معينة ،  $r$  هي زاوية الانكسار فإن الشعاع ينحرف بزاوية مقدارها  $(r-i)$  عندما ينفذ إلى الشعيرة . وعند انكاس هذا الشعاع عند السطح الخلفي للشعيرة فإنها يعاني انحرافا آخر مقداره  $(2r-\pi)$  . وأخيراً فإن هذا الشعاع يعاني انحرافا ثالثاً مقداره  $(r-i)$  عند خروجه من الشعيرة . وبذلك نحصل على الانحراف الكلي  $\theta$  لهذا الشعاع من المعادلة :

$$\theta = \pi + 2i - 4r$$

ولحساب الحد الأدنى للانحراف الزاوي  $\frac{d\theta}{di}$  minimum angular deviation نساوى هذا المعامل التقاضلي الأول بالصفر . وتعطى النتيجة - في حالة وضع  $n_0 = 1$  - تعطى زاوية السقوط المقابلة لزاوية الانحراف الصفرى minimum deviation

$$\theta = \pi + 2i - 4 \sin^{-1} \left( \frac{\sin i}{n} \right) \quad (10.1)$$

$$\frac{d\theta}{di} = 2 - \frac{4 \cos i}{(n^2 - \sin^2 i)^{1/2}} \quad (10.2)$$

when  $d\theta/di \rightarrow 0$ , hence  $i = i_m$ , and

$$\cos i_m = \left( \frac{n^2 - 1}{3} \right)^{1/2} \quad (10.3)$$

وهذه هي قيمة  $i$  المقابلة لأقل انحراف مستقر stationary minimum ذلك بأخذ المعامل التقاضلي الثاني  $\frac{d^2\theta}{di^2}$  ملاحظة أنه موجب .

ومن المعادلة رقم (١٠-٢) يعرف نصف العرض الزاوي لنموذج التشتيت The angular half width of the scattered pattern ( $\Phi_m$ )  $h, L_m$  وعلاقته بالبارامترات المقاسة وهي ونحصل من الشكل رقم (٢/١٠) على المعادلة الآتية :

$$L_m = h \tan \phi_m \quad (10.4)$$

وحيث إن :

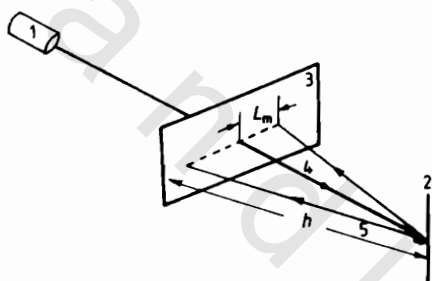
$$\phi = \pi - \theta$$

$$\phi_m = 4 \sin^{-1} \left( \frac{\sin i_m}{n} \right) - 2i_m \quad (10.5)$$

ونحصل في النهاية على :

$$\phi_m = 4 \sin^{-1} \left[ \frac{2}{n\sqrt{3}} \left( 1 - \frac{n^2}{4} \right)^{1/2} \right] - 2 \sin^{-1} \left[ \frac{2}{\sqrt{3}} \left( 1 - \frac{n^2}{4} \right)^{1/2} \right] \quad (10.6)$$

وتوضح المعادلة رقم (١٠-٦) أن موقع الانقطاع الحاد sharp cut-off في نموذج التشتت الخلفي لشعاع الليزر عندما يسقط على شعيرة من الزجاج يسمح بتعيين معامل انكسار مادة الشعيرة .



شكل رقم (٢/١٠) : النظام البصري المستخدم للحصول على نموذج التشتت الخلفي

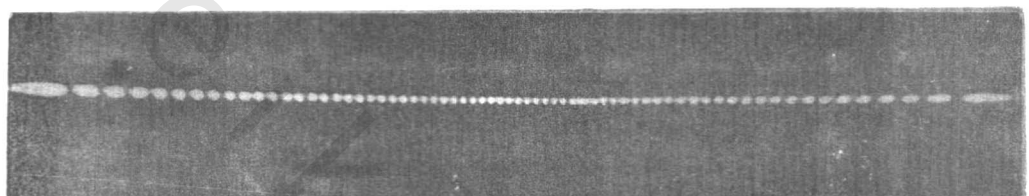
- ١- حزمة أشعة ليزر ميلريم - نيون بطول موجي ٦٣٢,٨ نانومتر ،
- ٢- شعيرة بدون قشرة
- ٣- حائل أبيض
- ٤- الأشعة الساقطة على الشعيرة
- ٥- الأشعة المشتتة خلفيا .

## ٢/١/١٠- الطريقة المعملية لتعيين معامل انكسار مادة الشعيرة

Determination of refractive index of the fibre material, experimental procedure

يوضح الشكل رقم (٢/١٠) النظام البصري المستخدم للحصول على التشتت الخلفي من

الالياف ، وفيه يمر شعاع ليزر ميليوم - نيون خلال فتحة في حائل أبيض ثم يسقط على الشعيرة . ويسقط الضوء المشتت خلفيا back-scattered light على نفس الحائل ويسجل فوتوغرافيا . ويحجب الضوء المشتت في الاتجاهات الأخرى من الوصول إلى الكاميرا . ويقع الضوء المشتت خلفيا كله في مدى انحراف زاوي  $\theta = \pm 20^\circ$  مقاسا من اتجاه الشعاع الساقط . ويكون النموذج الكامل للتشتت متماثلا حول  $\theta = 0$  = صفر . وطول موجه الضوء المستخدم  $\lambda = 6328$  أنجستروم . ويبين الشكل رقم (٢/١٠) نموذج التشتت الخلفي لشعيرة من زجاج الصودا soda ذات قطر حوالي ٢٠٠ ميكرومتر .



شكل رقم (٢/١٠) : نموذج التشتت الخلفي لحزمة من الأشعة سقطت على شعيرة من زجاج الصودا قطرها حوالي ٢٠٠ ميكرون

### ٣/١/١٠- التشتت الخلفي لشعاع الليزر بواسطة شعيرة مكونة من لب وقشرة

Back-scattering of laser radiation from a cladded fibre :

يمكن تعريف الخصائص الفيزيائية للألياف البصرية المستخدمة في أنظمة التراسل الضوئي مثل الألياف ذات اللب والقشرة cladded fibres ، وذلك من التشتت الخلفي لشعاع الليزر يسقط عموديا على محور الشعيرة .

فقد درس هو ومعاونوه "Ho et al" عام (١٩٧٥) موضوع التشتت الخلفي في حالة الألياف البصرية ، حيث  $n_{\text{core}} > n_{\text{clad}}$  ، وهو شرط أساسى لحدوث الانعكاس الكلى الداخلى داخل لب الشعيرة وعند سطح الانفصال مع القشرة .

ويتميز التشتت الخلفي من الألياف البصرية ذات اللب والقشرة بوجود موقعين للانقطاع الحاد two sharp cut-offs

التشتت الخلفي في حالة شعيرة معامل انكسار طبقتها  $n_{core} > n_{clad}$  وبامتداد حيث انعكاس داخلي واحد :

The case of an optical fibre with  $n_{core} > n_{clad}$ , considering single reflection :

يمكن دراسة نموذج التشتت الخلفي في هذه الحالة باستخدام التقرير في طرق البصريات الهندسية وبين الشكل رقم (٤/١٠) مسار الشعاع الساقط بعد انكساره، ويوضح الزوايا المناظرة للانكسار والانعكاس، وتبين المعادلة الآتية العلاقة بين هذه الزوايا :

$$\theta = \pi - 4\gamma' + 2i + 2i - 2\gamma = \pi - \emptyset$$

ويوضع :

$$\frac{d\emptyset}{di} \Big|_{i=i_m} = 0$$

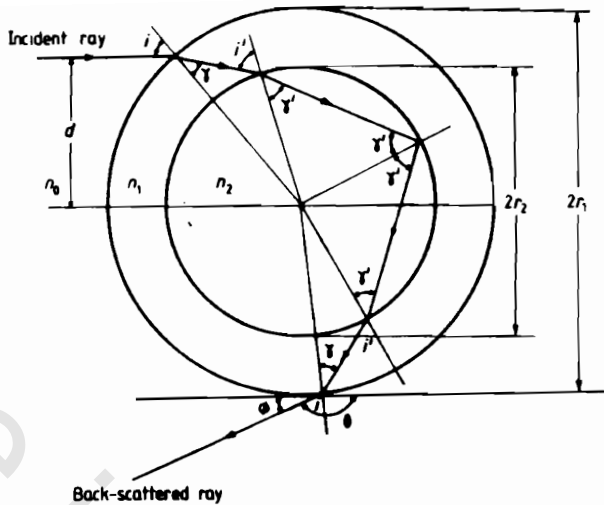
يمكن أن نصل إلى المعادلة الآتية في  $i_m$  :

$$\frac{2 \cos i_m}{[(n_2 r_2 / r_1)^2 - \sin^2 i_m]^{1/2}} + \frac{\cos i_m}{(n_1'^2 - \sin^2 i_m)^{1/2}} - \frac{\cos i_m}{[(n_1 r_2 / r_1)^2 - \sin^2 i_m]^{1/2}} = 1 \quad (10.7)$$

حيث :

$$n'_2 = \frac{n_2}{n_o} = n_{core} \text{ and } n'_1 = \frac{n_1}{n_o} = n_{clad}$$

و  $n_o$  هو معامل انكسار الوسط المحيط بالشعيرة (هواء)



شكل رقم (٤/١٠) : يوضح مسار الشعاع المنشت خلفيا باعتبار حدوث انعكاس واحد داخل لب الشعيرة التي لها البارامترات التالية :  $n_1$  معامل انكسار القشرة ،  $n_2$  معامل انكسار لب الشعيرة ،  $r_1$  نصف قطر الشعيرة ،  $r_2$  نصف قطر لب الشعيرة

ويمكن أن تحل المعادلة رقم (٧/١٠) تحليليا بصعوبة بالنسبة إلى  $i_m$  ولكن يمكن الحصول على تقرير مناسب بوضع  $r_2 \approx r_1$  ، وفي هذه الحالة نحصل على المعادلة الآتية لأكبر زاوية تشتت خلفي  $\Phi$  :

$$\Phi_m = 1 = 4 \cos^{-1} \left\{ \frac{1}{n_c} \left[ \frac{4}{3} n_c^2 - \frac{4}{3} \left( \frac{r_1}{r_2} \right)^2 \right]^{1/2} \right\} - 2 \cos \left\{ \left[ \frac{1}{\sqrt{3}} \left( n_i \frac{r_2}{r_1} \right)^2 - 1 \right]^{1/2} \right\}$$

$$| - 2 \cos^{-1} \left\{ \frac{1}{n_s} \left[ n_s^2 + \frac{1}{4} n_c^2 - \frac{4}{3} \left( \frac{r_1}{r_2} \right)^2 \right]^{1/2} \right\} + 2 \cos^{-1} \left[ \left[ \frac{1}{n_s} \left\{ n_s^2 + \frac{4}{3} \left[ \frac{1}{4} n_c^2 \left( \frac{r_2}{r_1} \right)^2 - 1 \right] \right\} \right]^{1/2} \right] |$$

حيث :

$$n_c = n_{core} \text{ and } n_s = n_{clad}$$

وهي حالة الشعيرة المكونة من لب فقط unclad fibre يوضح :

$$r_1 = r_2, n_c = n_s = n \quad \text{and} \quad n_0 = 1$$

وتقول المعادلة الأخيرة إلى المعادلة التي توصل إليها "Presby" (١٩٧٤).

التشتت الخلفي في حالة ألياف بصيرية باعتبار حدوث انعكاسين داخليين :

The case of optical fibres, considering two internal reflections :

توضح المعادلات الآتية تحليل التشتت الخلفي لشاعر الليزر عندما يسقط عمودياً على شعيرة ويحدث انعكاسين داخليين عند سطح الانفصال بين لب الشعيرة وقشرتها . ويبين الشكل رقم (٥/١٠) مسار الشعاع الساقط الذي يعاني انكسارات وانعكاسات حيث توضح الزوايا في كل حالة . وتعطى المعادلة الآتية العلاقة بين هذه الزوايا :

$$\theta = 2\pi - 6\gamma' + 2i + 2i' - 2\gamma = 2\pi - \phi$$

ويوضع :

$$\frac{d\phi}{di} \Big|_{i=i_m} = 0$$

يمكن أن نصل إلى المعادلة الآتية في  $i_m$

$$\frac{3 \cos i_m}{[(n_c r_2 / r_1)^2 - \sin^2 i_m]^{1/2}} + \frac{\cos i_m}{(n_s^2 - \sin^2 i_m)^{1/2}} - \frac{\cos i_m}{[(n_s r_2 / r_1)^2 - \sin^2 i_m]^{1/2}} = 1$$

ويفرض أن  $r_2 = r_1$  فإن المعادلة الآتية تعطي قيمة أقصى زاوية تشتت خلفي  $\Phi_m$  :

$$\Phi_m = 2 = 6 \cos^{-1} \left\{ \frac{1}{n_c} \left[ \frac{9}{8} n_c^2 - \frac{9}{8} \left( \frac{r_1}{r_2} \right)^2 \right] \right\}^{1/2} - 2 \cos^{-1} \left\{ \frac{1}{2\sqrt{2}} \left[ \left( n_c \frac{r_2}{r_1} \right)^2 - 1 \right]^{1/2} \right\}$$

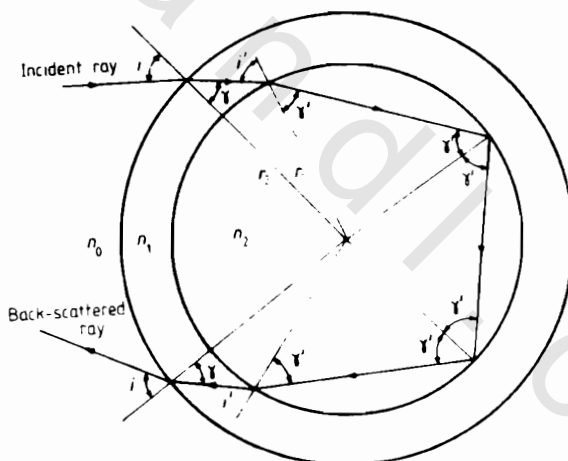
$$- 2 \cos^{-1} \left\{ \frac{1}{n_s} \left[ n_s^2 + \frac{1}{8} n_c^2 - \frac{9}{8} \left( \frac{r_1}{r_2} \right)^2 \right]^{1/2} \right\} + 2 \cos^{-1} \left\{ \frac{1}{n_s} \left[ n_s^2 + \frac{1}{8} \left( n_c \left( \frac{r_1}{r_2} \right)^2 \right)^2 - \frac{8}{9} \right]^{1/2} \right\}$$

ويمكن الحصول على المعادل الآتية التي تعطى قيمة  $\Phi_m$  لـ  $m$  عدد من الانعكاسات الداخلية  $m$  داخل لب الشعيرة :

$$\theta_m = 2(m+1) \cos^{-1} \left[ \left( \frac{1}{n_c} \left\{ \frac{(m+1)^2}{m(m+2)} \left[ n_c^2 - \left( \frac{r_1}{r_2} \right)^2 \right] \right\}^{1/2} \right] - 2 \cos^{-1} \left[ \left( \frac{(n_c r_2 / r_1)^2 - 1}{m(m+2)} \right)^{-1/2} \right]$$

$$- 2 \cos^{-1} \left[ \left( \frac{1}{n_s} \left\{ n_s^2 + \frac{(m+1)^2}{m(m+2)} \left[ \frac{n_c^2}{(m+1)^2} - \left( \frac{r_1}{r_2} \right)^2 \right] \right\}^{1/2} \right] \right]$$

$$+ 2 \cos^{-1} \left\{ \frac{1}{n_s} \left[ n_s^2 + \frac{(m+1)^2}{m(m+2)} \left( \frac{(n_c r_2 / r_1)^2 - 1}{(m+1)^2} \right) \right]^{1/2} \right\}$$



شكل رقم (١٠/٥) : يوضح مسار الشعاع المشتت خلفيا باعتبار حدوث انعكاسين اثنين داخل لب الشعيرة التي لها البارامترات الآتية :  $n_1$  معامل انكسار قشرة الشعيرة ،  $n_2$  معامل انكسار لب الشعيرة .  
 $r_1$  نصف قطر لب الشعيرة ،  $r_2$  نصف قطر قطر الشعيرة .

ويمكن الآن حساب قيمة  $n_c$  بمعرفة :

$$\Phi_m = \tan^{-1} \left( \frac{L_m}{h} \right)$$

حيث  $2L_m$  هو الطول المطلق بين النقط التي تعطى الانقطاع الحاد ،  $h$  هي المسافة بين الشعيرة ومركز نموذج التشتت الخلفي على الحال .

ويتم تعين قيمة  $n_s$  باستخدام طريقة الحد الفاصل لبيك Becke-line method - انظر Hartshorne and Stuart, 1970 :

ويتعين قيمة  $\Phi_m$  عندما تكون  $m = 1$  يمكن حساب  $n_s, n_c$  عندما تكون  $\frac{r_1}{r_2}$  معلومة .

ويستخدم الحاسوب الآلي لإجراء هذه الحسابات .

٤/١/٤- تشتت شعاع من الضوء يمر داخل الشعيرة في اتجاه محورها

Light scattering of a beam incident through the fibre along its axis :

يحدث تشتت الضوء في الألياف البصرية نتيجة إلى العاملين الآتيين :

- ١- تشتت رالي Rayleigh Scattering وهو العامل الأساس للفقد في الشعيرة .
- ٢- عدم التجانس نتيجة لوجود فقاعات صغيرة micro-bubbles وبلورات صغيرة micro-crystals وشقوق دقيقة micro fractures والتي تعتبر بالتقريب تشتتاً متماثلاً isotropic scattering وتحدث قدرًا كبيرًا من التشتت في طول معين من الشعيرة نتيجة للتشوهات الهندسية والبصرية الصغيرة للألياف مثل الانحناءات الدقيقة numerical aperture أو تغير في قطر لب الشعيرة أو من الاتساع العددي  $\Delta$  أو من بروفييل معامل انكسار الشعيرة .

٤/٢- التشتت الخلفي في اتجاه محور الشعيرة

Back-scattering along the optical fibre axis:

يقدم التشتت الخلفي الناتج من الشعيرة طريقة لا إتلافية تتطلب طرقًا واحدًا للشعيرة

ونطلق عليها طريقة "Optical time domain reflectometry (OTDR)" . وقد تم تطويرها بواسطة « بارنوسكى وينسين Baronski and Jense (١٩٧٦) » كما شارك فى ذلك مئلين آخرين مثل « كوستا وسوردوجو Costa and Sordo (١٩٧٧ a,b) » ، « پيرسونيك Personick » ، و « بيانو وسيت بيانو وسيت (١٩٧٧) » .

يتقم هذه الطريقة على إرسال نبضة خلال الشعيرة ، فتشتت جزء من الطاقة بواسطة الشعيرة ويوجه إلى الخلف ويتواءل صدى النبضات مكوناً نبضة مختلفة يتم استقبالها وتحليلها عند نفس طرف الشعيرة الذى يدخل منها الضوء .

### ١/٢/١٠ - النظرية :

يعانى الضوء الذى ينتشر فى الشعيرة من تشتت يتبع الطاقة تشتت رايلي المتماثل isotropic Rayleigh scattering . وإذا اعتربنا فقط هذا النوع من التشتت فإن الطاقة المشتتة - ونرمز لها  $p_s(z)$  - عند بعد  $z$  من طرف الشعيرة الذى يدخل منه الضوء وفى مقطع طوله  $dz$  يكون :

$$P_s(z) = \gamma_s P(z) dz$$

حيث  $\gamma$  هي معامل الفقد الناتج من تشتت رايلي لوحدات متر<sup>-١</sup> ، وذلك باعتبار ثبات قيمته وإن كان عادة قد يتغير مع البعد نتيجة عدم التجانس فى تركيب مادة الشعيرة وطول موجى  $\lambda$  تكون الشدة الضوئية عند بعد  $z$  على امتداد الشعيرة تعطى المعادلة :

$$P(z, \lambda) = P(0, \lambda) \exp \left( - \int_0^z \gamma(\lambda, z) dz \right)$$

حيث  $P(0, \lambda)$  تمثل الطاقة الضوئية التى دخلت الشعيرة ،  $\gamma(\lambda, z)$  تمثل معامل الفقد فى وحدة الطول التى قد تعتمد على الموقع أى بعد المقطع من طرف الشعيرة . ويمكن

تعريف معامل الفقد المتوسط كالاتى :

$$\bar{\gamma}(\lambda) = \frac{1}{z} \int_0^z \gamma(\lambda, z) dz$$

$P(z, \lambda) = P(0, \lambda) \exp(-z\bar{\gamma}(\lambda))$  على ذلك :

وبافتراض تمايز في التوزيع الظاهري للطاقة المشتتة تقريباً، يكون جزء الطاقة الذي دخل الشعيرية والذي يرمز له  $S$  تعطيه النسبة بين زاوية القبول المحسنة للشعيرية إلى الزاوية المحسنة الكلية. ينطبق ذلك في حالة شعيرية معامل انكسار لها ثابت القيمة STEP ، لكنه يمكن صحيحاً بالتقريب في حالة شعيرية متدرجة معامل انكسار لها :

$$S = \frac{\pi \Delta^2}{4\pi n_0^2} = \frac{\Delta^2}{4n_0^2}$$

حيث  $\Delta$  هي قيمة الفتحة العددية للشعيرية ، وتساوي  $\frac{1}{2}(n_0^2 - n_1^2)$  ، حيث  $n_0$  هي معامل انكسار لـ الشعيرية  $n_1$  معامل انكسار القشرة .

إذ الطاقة المشتتة خلفياً بين  $z + dz$ ,  $z$  هي :

$$P_{bs}(z) = \gamma_s SP(z) dz$$

وهي جزء من الطاقة الضوئية الكلية المشتتة عند البعد  $z$  من طرف الشعيرية التي دخل منها الضوء من مقطع طوله  $dz$  . ويكون اتجاهها إلى الخلف نحو مدخل الشعيرية وبحكمها زاوية القبول للشعيرية . وفي رحلتها إلى الخلف تعانى أيضاً فقداً .

وتعطى المعادلة الآتية الطاقة المشتتة من  $z$  ,  $z + dz$  التي تصل إلى الكاشف على افتراض أن كفاءة التزاوج هي  $\eta$  :

$$P_{bsd}(z) = \eta P_{bs}(z) \exp \left( - \int_0^z \gamma'(z) dz \right)$$

حيث  $\gamma'$  ترمز إلى معامل فقد الضوء المشتت خلفياً .

وبالتعميّض بقيمة  $P_{bs}$  التي تعطيها المعادلة :

$$P_{bs}(z) = \gamma_s SP(z) dz = \gamma_s SP(0) \exp \left( - \int_0^z \gamma(z) dz \right)$$

$$P_{bsd}(z) = \eta \gamma_s SP(0) \exp \left( - \int_0^z (\gamma(z) + \gamma'(z)) dz \right) dz$$

نحصل على  $z$

ويمكن اعتبار معامل الفقد إلى الأمام وإلى الخلف متسلقيين ، ومن ثم :

$$P_{bsd}(z) = \pi \gamma_s S P(0) \exp(-2\bar{\gamma}z) dz$$

وتم تسجيل الطاقة المتولدة عند بعد  $z$  بعد فترة زمنية  $v_g t = 2z$  ، حيث  $v_g$  هي سرعة مجموعة الأشعة الضوئية في الشعيرية group velocity . فإذا كان اتساع النبضة المرسلة هو  $\Delta T$  ، فإن الطاقة الكلية ( $t$ ) الساقطة على الكاشف عند زمن  $t$  نحصل عليها بتجميع المعادلة السابقة في الفترة الزمنية  $\frac{2\Delta z}{v_g}$  .

وباعتبار ثبات قيمة  $(\bar{\gamma}z)$  على امتداد هذا الطول وبالتعويض بقيمة  $\frac{T}{2} = v_g t$  ينتج أن :

$$\begin{aligned} P(t) &= \int_0^{v_g T/2} P_{bsd}(z) dz \\ &= \pi \gamma_s S P(0) \exp(-2\bar{\gamma}v_g t/2) (v_g \Delta T/2) \\ &= \pi \gamma_s \frac{c}{2n} \Delta T S P(0) \exp(-2\bar{\gamma}v_g t/2) \end{aligned}$$

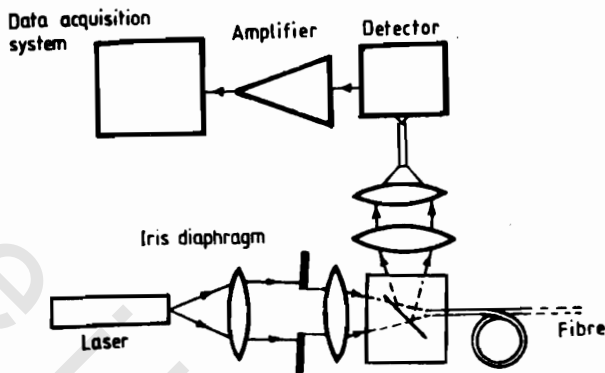
وذلك على أساس ثبات قيمة ( $0$ )  $P$  في الفترة الزمنية  $\Delta T$  ، وإذا لم يكن كذلك فتؤخذ قيمة متوسطة . على ذلك فيكون شكل الموجة العائنة على هيئة دالة أسيّة يمكن منها حساب معامل الفقد الكلي :

$$\frac{P(t_1)}{P(t_2)} = \exp\left(-\bar{\gamma} \frac{c}{n} (t_2 - t_1)\right) \rightarrow \bar{\gamma} = -\frac{n [\ln P(t_1) - \ln P(t_2)]}{c (t_2 - t_1)}$$

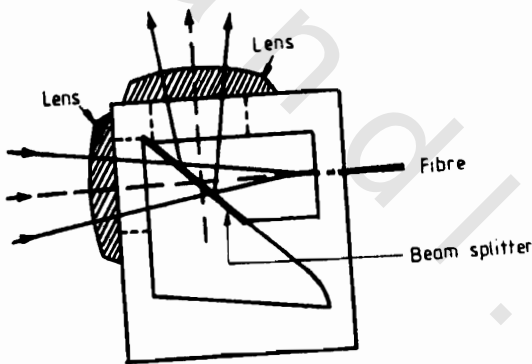
ويبين الشكل رقم (١٠/٦) (رسماً توضيحيًا) للنظام البصري الذي استخدمه Costa (١٩٧٧) b - and Sordo (١٩٧٧) b لقياس التشتت الخلفي .

واستخدم "Costa and Sordo" (١٩٧٧ b) خلية خاصة موضحة في الشكل رقم (٦/١٠) لتقليل الانعكاس من سطح الشعيرية الذي يدخل منه الضوء . وتملأ هذه الخلية بسائل انكساره يساوى معامل انكسار لب الشعيرية ( $n_L = n_{core}$ ) ، وتحتوي هذه

الخلية على مجذى لزمه الأشعة beam splitter ، وتوضع الشعيرة فى الخلية من خلال فتحة ضيقة بواسطة micromanipulators



شكل رقم (٦/١٠) : النظام البصري المستخدم فى قياس التشتت الخلفي (من Costa and Sordo, 1977-b )



شكل رقم (٧/١٠) : خلية يملؤها سائل له معامل انكسار مساوى لمعامل انكسار لم الشعيرة يتم بواسطته تقليل الانكسار للضوء الساقط على طرف الشعيرة (من Costa and Sordo, 1977-b )

## References

- Barnoski M K and Jensen S M 1976 *Appl. Opt.* **15** 2112  
Costa B and Sordo B 1977a *CSELT Rep. Tec.* **5** 75  
——— 1977b *Third European Conf. on Optical Communication, Munich, September 1977*  
Daino B and Sette D 1977 *Eurocon, Venice, May 1977*  
Hartshorne N H and Stuart A 1970 *Crystals and the Polarising Microscope* (London : Edward Arnold) pp 559-63  
Ho P S, Mahric M E and Epstein M 1975 *Appl. Opt.* **14** 2598  
Personick S D 1977 *Bell Syst. Tech. J.* **50** 355  
Presby H M 1974 *J. Opt. Soc. Am.* **64** 280